

DOI: 10.11883/1001-1455(2016)03-0305-08

# 基于单元相交的混合网格精确守恒插值方法\*

徐春光,董海波,刘 君

(大连理工大学航空航天学院,辽宁 大连 116024)

**摘要:** 基于网格切割思想,发展了二维/三维混合网格条件下的单元相交算法,可精确计算任意两个多边形/多面体的交集。在此基础上,实现了基于单元相交(CIB/DC)的精确守恒插值算法。二维和三维验证算例表明,该方法能够保证插值过程中计算域内物理量的严格守恒,且具有比常规二阶插值更高的精度。

**关键词:** 流体力学;守恒插值;单元相交;混合网格;局部超网格

**中图分类号:** O354      **国标学科代码:** 13025      **文献标志码:** A

在包含运动边界的非定常流动模拟中,流场物理空间随时间变化,边界运动导致网格也随时间变化,典型应用包括多体分离、机翼抖振颤振、舱门启闭等<sup>[1]</sup>。CFD 计算一般采用运动嵌套网格、笛卡尔自适应网格和变形动网格等技术处理网格变化。在采用上述技术处理网格变化时,均涉及流场信息的插值问题<sup>[1-2]</sup>,即利用旧网格上的流动信息插值获得重构区域流动参数。此外,在爆轰流场模拟中,爆轰计算网格与冲击波传播计算网格差两个量级<sup>[3-4]</sup>,为提高计算效率,往往需要将物理量由爆轰计算时使用的密网格插值传递到冲击波传播模拟中的疏网格。

插值过程一般应具备守恒性和单调性等基本特性。对爆轰计算等守恒性要求高的问题,一般的插值不能保证计算区域内物理量的守恒,会降低计算精度,且无法捕捉激波的正确位置<sup>[5]</sup>,需要发展守恒插值方法。守恒插值方法主要可分为两类,基于面通量(SFB/DC, simplified face-based donor-cell)的方法和基于单元相交(CIB/DC, cell-intersection-based donor-cell)的方法<sup>[6]</sup>。

SFB/DC 方法<sup>[6]</sup>效率较高,但要求新、旧网格具有相同的拓扑结构,不适用于网格重构等拓扑发生变化的情况。CIB/DC 方法思想简单直接,对计算网格的类型、结构不进行任何假设,适用范围很广,并且具有保号性,插值过程中不会产生新的极值<sup>[6]</sup>。但该方法推广至三维情况时,由于三维网格单元重叠区域切割计算非常复杂,给这种方法的应用带来了很大困难。为了实现严格意义下的三维 CIB/DC 算法,P. E. Farrell 等<sup>[7]</sup>进行了一系列卓有成效的工作,在 2011 年进一步发展为“局部超网格”(Local Supermesh)方法,成功实现了非结构网格下的三维 CIB/DC 算法<sup>[8]</sup>。

本文中在 P. E. Farrell 等和 S. Menon 等<sup>[9]</sup>工作的基础上,构造了应用于二维/三维混合网格的 CIB/DC 算法,实现了基于精确网格切割的积分守恒插值。验证结果表明,该方法能够保证插值过程中计算域内物理量的严格守恒,具有比常规二阶插值更高的精度。

## 1 守恒插值基本思想

守恒插值要求在插值过程中保证守恒量的积分值保持不变,假设计算域为  $\Omega$ ,网格  $T^\alpha$  是计算域的一种划分,则在网格  $T^\alpha$  中, $\Omega$  被划分为  $N_\alpha$  个网格单元  $T^\alpha = (T_1^\alpha, T_2^\alpha, \dots, T_{N_\alpha}^\alpha)$ ,并满足如下条件:

$$\Omega = \bigcup_i^{N_\alpha} T_i^\alpha, \quad T_i^\alpha \cap T_j^\alpha = \emptyset \quad i \neq j$$

在网格  $T_i^\alpha$  中,物理量  $\phi$  的分布函数为:

$$\phi^\alpha(\mathbf{x}) = \phi_i^\alpha(\mathbf{x}) \quad \text{if } \mathbf{x} \in T_i^\alpha$$

\* 收稿日期: 2014-11-10; 修回日期: 2015-03-30

基金项目: 国家自然科学基金项目(11272074); 辽宁省自然科学基金项目(201202033)

第一作者: 徐春光(1977—),男,博士,高级工程师; 通信作者: 刘 君,liujun65@dlut.edu.cn。

式中:  $\phi_i^a(\mathbf{x})$  可以指定多种形式, 通常为多项式分布。

网格  $T^b$  是计算域  $\Omega$  的另一种形式的划分, 划分形式与要求同  $T^a$ , 则同样有  $T^b$  上的物理量分布  $\phi^b(\mathbf{x})$ 。如果对于  $\Omega$  的任意子区域  $D$ , 满足如下条件:

$$\int_D \phi^a(\mathbf{x}) dV = \int_D \phi^b(\mathbf{x}) dV \quad \forall D \subset \Omega \quad (1)$$

则称  $\phi^b(\mathbf{x})$  是  $\phi^a(\mathbf{x})$  的守恒插值结果。

对于一般的情形, 要使式(1)满足, 必须有  $T^b \equiv T^a$ ,  $\phi^b(\mathbf{x}) \equiv \phi^a(\mathbf{x})$ , 但这就失去了在两套网格间进行插值的意义。为此, 对  $D$  进行限制, 不能是  $\Omega$  的任意子区域, 而必须是网格  $T^b$  中的某个网格:

$$\int_D \phi^a(\mathbf{x}) dV = \int_D \phi^b(\mathbf{x}) dV \quad \forall D \subset \{T_i^b \mid i=1, 2, \dots, N_b\} \quad (2)$$

上式就是一般意义上的守恒插值关系式。

对式(2), 按照基于单元相交的思想, 对  $D$  进行分解:

$$D = T_i^b = \sum_{j=1}^{N_a} (T_i^b \cap T_j^a) = \sum_{j=1}^{N_a} V_{ij}$$

式中:  $V_{ij} = T_i^b \cap T_j^a$ 。将上式代入式(2), 则有:

$$\int_D \phi^b(\mathbf{x}) dV = \int_D \phi^a(\mathbf{x}) dV = \sum_{j=1}^{N_a} \int_{V_{ij}} \phi^a(\mathbf{x}) dV \quad (3)$$

式(3)就是基于单元相交守恒插值方法(CIB/DC)的基本依据。从式(2)到式(3)未引入任何近似。因此, 在给定分布  $\phi(\mathbf{x})$  的情况下, CIB/DC 方法是严格守恒的。

从式(3)还可以看出, 如果已知网格  $T^a$  上的物理量分布  $\phi^a(\mathbf{x})$ , 如何计算网格单元间的相交区域  $V_{ij}$  便成为 CIB/DC 方法的关键。

## 2 “超网格”基本思想

图1为文献[8]给出的超网格示意图, 超网格是由  $T^a$  和  $T^b$  所有结点以及它们边界交点构成的网格, 具有如下特性:

(1) 每一个超网格不再和  $T^a$  或  $T^b$  中任何网格单元相交, 即它总可以在  $T^a$  中找到一个网格包含或等于它, 也总可以在  $T^b$  中找到一个网格包含或等于它;

(2)  $T^a$  的每一个网格总可以明确表示为一个或多个超网格的集合,  $T^b$  的每一个网格总可以明确表示为一个或多个超网格的集合。

这样一来, 对于  $T^b$  任意网格  $D$  可以写出它所包含的超网格, 每一个超网格就是  $V_{ij} = T_i^b \cap T_j^a$ , 可以在  $T^a$  上找到具体位置和对应的物理量, 采用  $\phi^b(\mathbf{x}) \equiv \phi^a(\mathbf{x})$ , 按照  $D$  所包含的超网格进行求和, 就得到  $D$  的物理量, 从而实现了从  $T^a$  到  $T^b$  的信息传递。由于  $T^a$  和  $T^b$  在超网格的交集完全等价, 使传递的物理量严格守恒, 实现精确守恒插值。

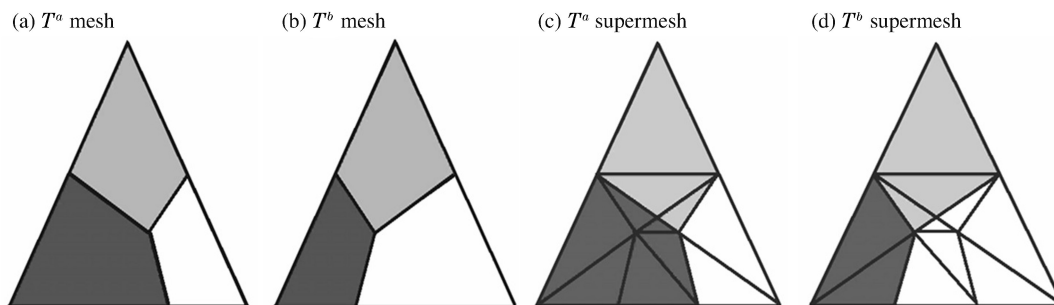


图1 超网格示意图

Fig. 1 Schematic of the supermesh

### 3 单元相交算法

由上节可知,获得超网格是实现精确守恒插值的关键。下面给出计算平面凸多边形和三维凸多面体交集的具体算法。

#### 3.1 平面凸多边形相交算法

如图 2 所示,将目标三角形  $A_1A_2A_3$  视为切割多边形,使用切割三角形  $B_1B_2B_3$  对目标三角形进行切割,每次切割时只保留目标多边形中与切割多边形在切割线同侧的部分。图中依次使用  $\triangle B_1B_2B_3$  的 3 条边  $B_1B_2$ 、 $B_2B_3$ 、 $B_3B_1$  切割  $\triangle A_1A_2A_3$ ,切割后保留的多边形依次为  $CA_3A_2G$ 、 $CDEA_2G$ 、 $CDEFB_1$ ,多边形  $CDEFB_1$  即为  $\triangle A_1A_2A_3$  和  $\triangle B_1B_2B_3$  的交集。

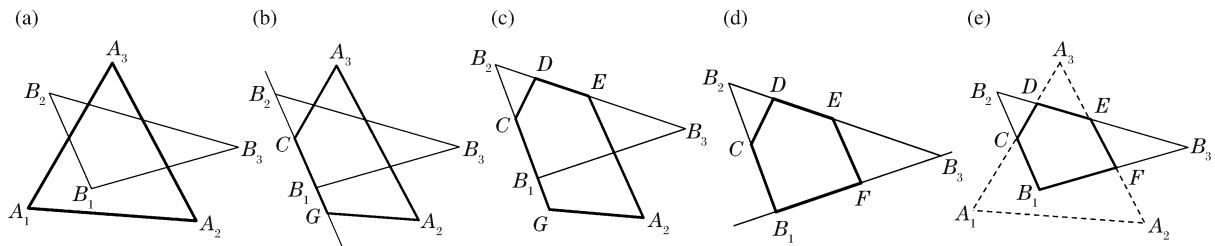


图 2 二维网格切割示意图

Fig. 2 Schematic of the two-dimensional grid cutting

在使用直线去切割平面凸多边形时,以图 3 为例,切割直线经过点  $O$ ,其法向单位矢量为  $\mathbf{n}$ ,切割直线将平面划分为两部分,定义法向  $\mathbf{n}$  所指的半平面为正半平面,反方向的半平面为负半平面。如果切割之后目标多边形仅保留正半平面的部分,那么切割操作等效于求目标多边形和正半平面的交集。定义平面上任意一点  $P$  到切割直线的距离为:

$$d = \mathbf{x}_{OP} \cdot \mathbf{n} = (\mathbf{x}_P - \mathbf{x}_O) \cdot \mathbf{n}$$

式中:  $\mathbf{x}_P$  和  $\mathbf{x}_O$  分别为点  $P$  和点  $O$  坐标。

根据上述定义,正半平面的点到切割直线的距离均为正数,负半平面的点到切割直线的距离均为负数,切割直线上的点到切割直线的距离为零。如果凸多边形各顶点到切割直线的距离均为非负数(图 3(a)),则切割结果即为原多边形;如果凸多边形各顶点到切割直线的距离均为非正数,则切割结果为空集;除上述两种情况外,凸多边形与切割直线必然有两个交点(图 3(b))。具体如下:

- (1) 设目标多边形为  $N$ ,其顶点依次为  $N_1, N_2, \dots, N_N$ ;切割直线为  $l$ ,切割结果为  $R$ ;
- (2) 计算  $N$  的各个顶点到  $l$  的距离,记顶点  $N_i$  到  $l$  的距离为  $d_i$ ;
- (3) 初始化一个空的有序点集  $P$ ;
- (4) 从顶点  $N_1$  起,依次对多边形  $N$  的边  $N_1N_2, N_2N_3, \dots, N_NN_1$  进行判定。

对线段  $N_iN_j$  的判定过程为:如果  $d_i d_j < 0$ ,则线段与切割直线有新的交点,记交点为  $N_{\text{new}}$ ;依次将  $N_i, N_{\text{new}}, N_j$  中距离为非负数的顶点加入点集  $P$ ;如果  $d_i d_j \geq 0$ ,则依次将  $N_i, N_j$  中距离为非负数的顶点加入点集  $P$ ;

(5) 完成所有边的判定后,如果  $P$  为空集,则  $R$  为空集;若  $P$  为非空集,则依次连接  $P$  中的点形成的多边形就是所求的切割结果  $R$ 。

#### 3.2 三维凸多面体相交算法

在三维流体计算中,常用的网格包括四面体、四棱锥、三棱柱、六面体等多种类型。其中,四棱锥、三

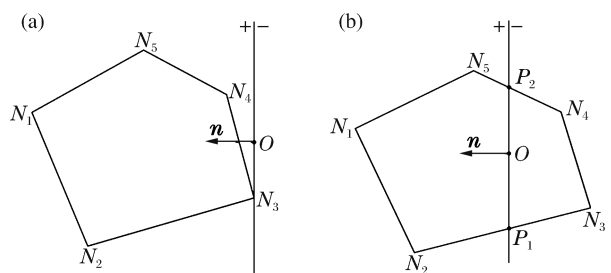


图 3 直线切割平面凸多边形

Fig. 3 Schematic of a straight line cutting plane convex polygon

棱柱、六面体这 3 种网格都具有四边形表面,网格生成过程中不能严格保证四边形表面的四个顶点位于同一平面内,会给多面体表面的定义带来歧义。

为了简化算法的复杂性,同时消除歧义,在计算两个任意凸多面体的交集时,首先将凸多面体分解为多个小四面体,如图 4 所示,其中点  $N_6$  为点  $N_2$ 、 $N_3$ 、 $N_4$ 、 $N_5$  的重心;然后通过计算这些小四面体的交集,来获得多面体的交集。计算多面体  $P_a$  和  $P_b$  的交集的具体步骤为:

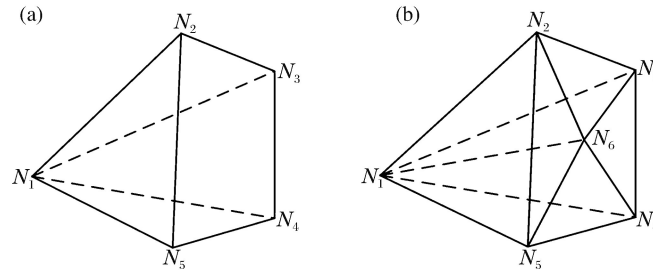


图 4 三维网格分解示意图

Fig. 4 Schematic of the three dimensional mesh decomposition

(1) 将  $P_a$  分解为一组四面体  $\{T_a^i\}$ , 将  $P_b$  分解为一组四面体  $\{T_b^j\}$ , 并且满足:

$$\begin{aligned} \bigcup_{i=1}^{N_a} T_a^i &= P_a, & T_a^i \cap T_a^j &= \emptyset & \forall 1 \leq i, j \leq N_a \text{ 且 } i \neq j \\ \bigcup_{j=1}^{N_b} T_b^j &= P_b, & T_b^i \cap T_b^j &= \emptyset & \forall 1 \leq i, j \leq N_b \text{ 且 } i \neq j \end{aligned}$$

(2) 计算  $\{T_a^i\}$  和  $\{T_b^j\}$  中任意两个四面体的交集:

$$T_c^{ij} = T_a^i \cap T_b^j \quad 1 \leq i \leq N_a, \quad 1 \leq j \leq N_b$$

并记录交集  $T_c^{ij}$  的体积和重心分别为  $V_c^{ij}$ 、 $\mathbf{x}_c^{ij}$ 。

(3) 多面体  $P_a$  和  $P_b$  交集可表示为:

$$P_a \cap P_b = \left( \bigcup_{i=1}^{N_a} T_a^i \right) \cap \left( \bigcup_{j=1}^{N_b} T_b^j \right) = \bigcup_{i=1}^{N_a} \bigcup_{j=1}^{N_b} (T_a^i \cap T_b^j) = \bigcup_{i=1}^{N_a} \bigcup_{j=1}^{N_b} T_c^{ij}$$

交集的体积和重心分别是:

$$V_c = \sum_{i,j} V_c^{ij}, \quad \mathbf{x}_c = \frac{1}{V_c} \sum_{i,j} V_c^{ij} \mathbf{x}_c^{ij}$$

该方法的核心在于如何计算两个四面体的交集  $T_c^{ij}$ 。相对于平面多边形的情形,即使四面体是最简单的多面体,其交集的计算也是十分复杂的:两个四面体相交,最多可能产生一个 12 顶点的 8 面体。本文中采用切割法计算两个四面体的交集:将一个四面体看做目标四面体,另一个四面体为切割四面体,依次使用切割四面体的 4 个表面去切割目标四面体,最终留下的多面体就是这两个四面体的交集。

#### 4 相交单元的搜索算法

相对于通常的流场插值方法,守恒插值的计算效率较低,主要有两个原因:(1)计算两个单元交集的算法较为复杂;(2)对同一个新网格单元,普通插值方法只需用到一个旧网格单元(称为贡献单元)的信息,而守恒插值需要用到多个贡献单元的信息。前文已对单元相交算法进行了详细的描述,本节将介绍守恒插值中多个贡献单元的搜索算法。

在贡献单元的搜索算法中,首先需要快速定位出新网格单元在旧网格中的位置。对此,可采用四叉树<sup>[11]</sup>或八叉树<sup>[12]</sup>(三维)方法加速搜寻,如图 5(a)所示,完全填充网格为旧网格,其上的非填充网格为新网格中的某个单元,通过四叉树方法,可快速定位出新网格单元的格心所在的旧网格单元(图中填充单元),这是新网格单元的第 1 个贡献单元;然后,逐个搜索各个贡献单元的直接相邻单元,如果相邻单元与新网格单元相交,则将该单元加入贡献单元的列表,如图 5(b)中浅色填充单元所示;当所有贡献单元的相邻单元(图 5(c)与(b)中不同的填充单元)都不与新网格单元相交时,搜索结束。

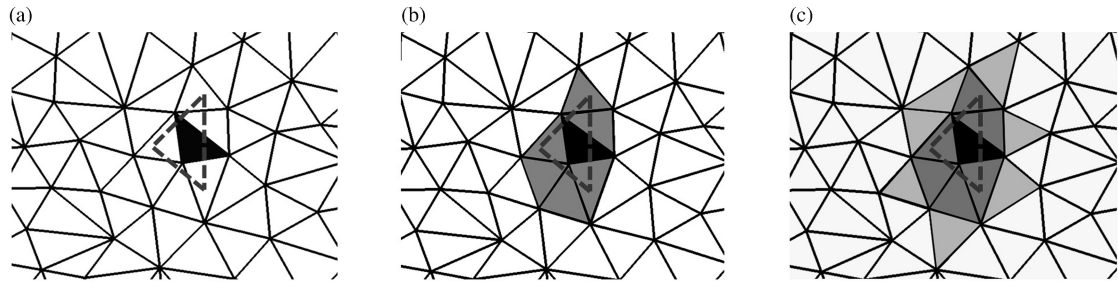


图 5 相交单元的搜索方法

Fig. 5 Search method of intersection elements

### 5 守恒插值验证算例

设计了 3 个算例来验证本文发展的守恒插值方法。第 1 个算例主要考核相同拓扑结构下网格点位置变化的影响;第 2 个算例主要考核网格形状的影响;第 3 个算例主要考核三维情况下的应用情况。

#### 算例 1

考虑如下的测试函数:

$$\phi(x, y) = 1 + \sin(2\pi x) \sin(2\pi y)$$

计算区域为  $[0, 1] \times [0, 1]$ , 计算网格为一组拓扑结构相同的非结构三角形网格, 分别表示为  $M_0, M_1, \dots, M_N$ , 其中  $M_0$  如图 6 所示。网格  $M_N$  中的第  $(i, j)$  个网格点的坐标由下式给出:

$$\begin{cases} x(\xi, \eta, t) = (1 - \alpha(t))\xi + \alpha(t)\xi^2 \\ y(\xi, \eta, t) = (1 - \alpha(t))\eta + \alpha(t)\eta^2 \end{cases}$$

式中:  $\alpha(t) = 0.5 \sin(4\pi t)$ ,  $\xi = (i - 1) / (i_{\max} - 1)$ ,  $\eta = (j - 1) / (j_{\max} - 1)$ ,  $t = n / T$ , 其中  $i = 1, 2, \dots, i_{\max}$ ;  $j = 1, 2, \dots, j_{\max}$ ;  $n = 0, 1, \dots, N$ 。

测试过程中, 在网格  $M_0$  上给定测试函数的准确分布, 然后依次插值到网格  $M_1, M_2, \dots, M_N$  上, 共进行  $N$  次插值, 最后比较网格  $M_N$  上的函数分布与准确值之间的误差。在本文计算中, 取  $i_{\max} = j_{\max} = 65, N = 200, T = 20$ 。

图 7 给出了计算误差随插值次数的变化情况, 其中纵坐标代表计算区域内各单元函数分布插值后计算值与理论值之差的 1 范数。两种插值方法中, 插值误差都随插值次数的增加而增大, 但守恒型插值方法的误差始终较小, 不到常规二阶插值误差的一半。

图 8 为两种方法的物理量积分值比较, 其中纵坐标代表每个单元计算值总和与理论值的比, 从图中明显可以看出, 守恒插值保证了计算域内物理量的守恒。

#### 算例 2

考虑如下的测试函数:

$$\phi(r) = 2 + \cos(\pi r / L)$$

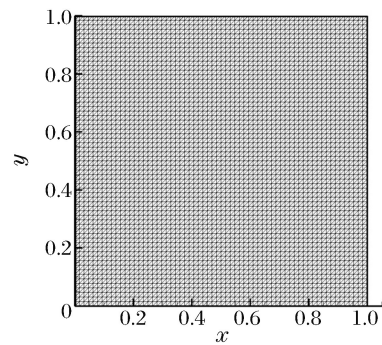


图 6 数值计算建模图

Fig. 6 Geometry of the specimen used for simulation

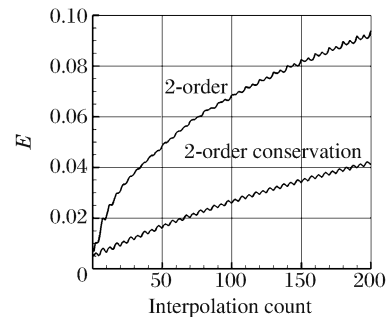


图 7 计算结果的误差比较

Fig. 7 Different errors of computational results

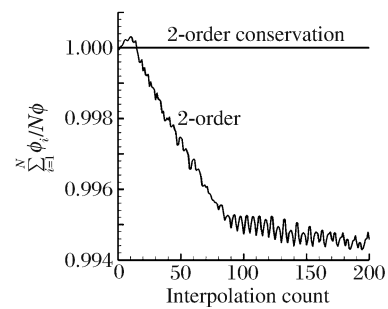


图 8 计算结果的积分比较

Fig. 8 Different integrals of computational results

计算区域是边长为 1 的正方形,  $L$  为正方形的对角线长度,  $r$  是与正方形中心的距离。测试中使用两种不同的网格, 网格 1 是均匀分布的结构网格, 网格 2 是非结构网格, 并与网格 1 具有相同的边界网格点分布, 如图 9 所示。测试中, 首先在网格 1 上给出测试函数的准确分布, 然后将其插值到网格 2 上, 再插值回网格 1, 如此反复, 进行 200 次插值后, 将物理量分布与初始的准确分布进行比较, 统计插值过程中的误差。分别采用常规二阶插值和守恒型二阶插值进行测试, 并使用不同疏密的网格以分析插值方法的精度。测试中使用的 4 组网格的网格量如表 1 所示。

表 1 计算网格参数

**Table 1 Parameters of the computational grid**

序号	结构网格	非结构网格	
		节点数	单元数
1	33×33	695	1 260
2	65×65	2 593	4 928
3	129×129	10 044	19 574
4	257×257	39 687	78 348

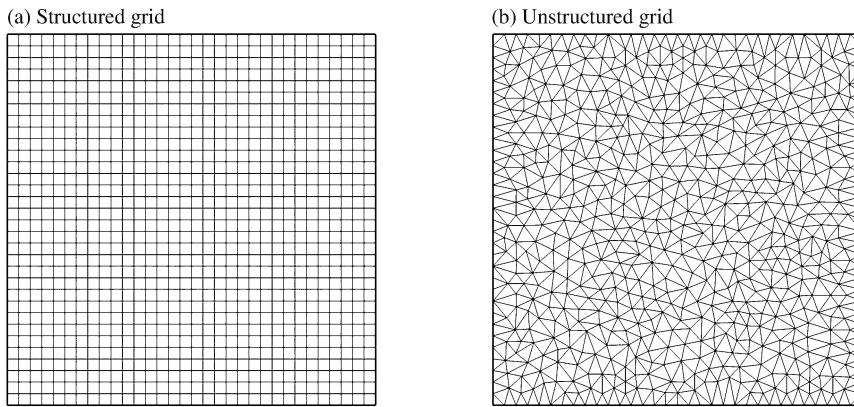


图 9 数值计算建模图

Fig. 9 Geometry of the specimen used for simulation

图 10 是计算误差与网格步长之间的关系, 其中横坐标是表 1 中 4 个不同结构网格计算单元的边长, 纵坐标代表计算区域内各单元函数分布插值后计算值与理论值之差的 1 范数。可以看出在相同的网格步长下, 守恒型插值的误差更小, 而且误差与网格步长之间的变化斜率更大, 说明其具有更高阶的精度。计算结果表明, 常规二阶插值精度约为 1.4 阶, 而守恒型二阶插值精度约为 1.87 阶。表 2 是不同算例的守恒误差比较, 守恒插值方法的守恒误差接近机器零, 明显优于普通二阶插值。

表 2 不同算例的守恒误差

Table 2 Conservation errors in different numerical cases

序号	二阶插值	守恒型二阶插值
1	$3.724 \times 10^{-3}$	0
2	$-1.447 \times 10^{-3}$	0
3	$-3.985 \times 10^{-4}$	$1 \times 10^{-14}$
4	$5.636 \times 10^{-5}$	$-2 \times 10^{-14}$

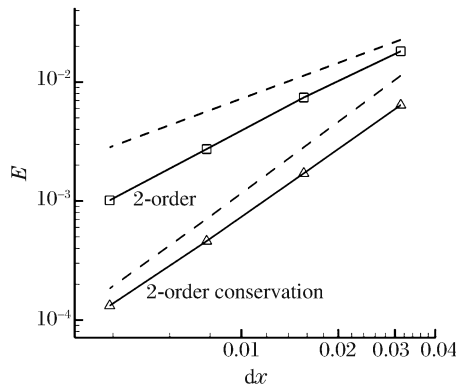


图 10 插值方法的精度比较

Fig. 10 Comparison of precision with different interpolation methods

**算例 3**

考虑如下的测试函数:

$$\varphi(x, y, z) = 1 + \sin(2\pi x)\sin(2\pi y)\sin(2\pi z)$$

计算区域是边长为 1 的正方体。每次测试使用两套网格,首先在网格 1 上给出测试函数的准确分布,然后将其插值到网格 2 上,再插值回网格 1,如此反复,进行 10 次插值后,将物理量分布与初始的准确分布进行比较,统计插值过程中的误差。分别采用普通二阶插值和守恒型二阶插值进行测试,并使用不同疏密的网格以分析插值方法的精度。测试中使用的 4 组网格的网格量如表 3 所示,其中网格步长由下式得到:

$$dx = (\sqrt{N_{E1}N_{E2}})^{1/N_D}$$

式中:  $N_{E1}$  和  $N_{E2}$  分别为两套网格的单元个数,  $N_D=3$  为网格的维数。

图 11 是测试函数在三维空间中的分布云图,图 12 是计算误差与网格步长之间的关系,其中横坐标是表 3 中  $dx$  的值,纵坐标代表计算区域内各单元函数分布插值后计算值与理论值之差的 1 范数。在三维条件下,守恒型插值依然具有更小的计算误差和更高的计算精度。

表 3 计算网格参数

Table 3 Parameters of the computational grid

序号	网格 1		网格 2		dx
	节点数	单元数	节点数	单元数	
1	914	4 033	676	2 711	0.067
2	2 222	10 632	1 424	6 075	0.050
3	6 527	32 913	3 733	16 681	0.035
4	26 099	138 542	12 600	59 347	0.022

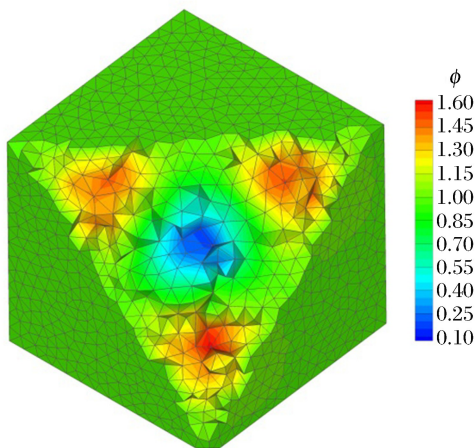


图 11 测试函数分布云图

Fig. 11 Nephogram of different test functions

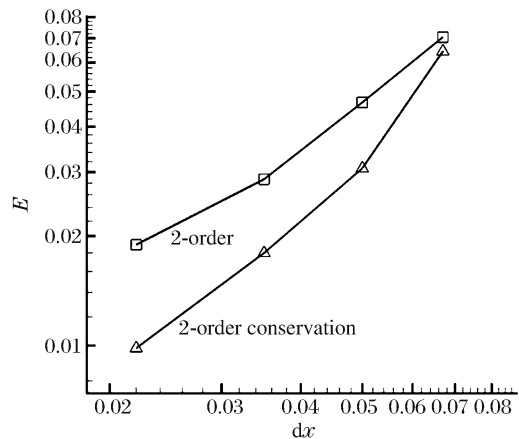


图 12 插值方法的精度比较

Fig. 12 Comparison of precision with different interpolation methods

**6 结 论**

采用在新旧网格相交单元剖分构建出来的超级网格作为网格之间信息传递的基础,采用二叉树(二维)或八叉树(三维)方法搜寻算法提高计算效率,基于以上方法提出了网格之间流场物理量的守恒插值算法。该算法理论上可以实现网格之间物理量的精确守恒,二维和三维算例也表明产生的误差接近机器零,明显优于常用的二阶插值。本文中提出的方法可以解决爆轰流场模拟中网格尺度和物理量相差较大情况下的插值难题。

## 参考文献:

- [1] 郭正, 刘君, 瞿章华. 非结构动网格在三维可动边界问题中的应用[J]. 力学学报, 2003, 35(2): 140-146.  
Guo Zheng, Liu Jun, Qu Zhanghua. Dynamic unstructured grid method with applications to 3d unsteady flows involving moving boundaries[J]. Acta Mechanica Sinica, 2003, 35(2): 140-146.
- [2] Zeeuw D D, Powell K G. An adaptively refined Cartesian mesh solver for the Euler equations[J]. Journal of Computational Physics, 1993, 104(1), 104: 56-68.
- [3] 白晓征. 包含运动界面的爆炸流场数值模拟方法及其应用[D]. 长沙: 国防科技大学, 2009.
- [4] 徐春光, 白晓征, 刘瑜, 等. 爆炸近区流场的数值模拟方法研究[J]. 兵工学报, 2012, 33(5): 565-573.  
Xu Chunguang, Bai Xiaozheng, Liu Yu, et al. Research on numerical simulation method of near-field flows in air blast[J]. Acta Armamentarii, 2012, 33(5): 565-573.
- [5] Pärt-Enander E, Sjögreen B. Conservative and non-conservative interpolation between overlapping grids for finite volume solutions of hyperbolic problems[J]. Computers and Fluids, 1994, 23(3): 551-574.
- [6] Margolin L G, Shashkov M. Second-order sign-preserving conservative interpolation (remapping) on general grids [J]. Journal of Computational Physics, 2002, 184(1): 266-298.
- [7] Farrell P E, Piggott M D, Pain C C, et al. Conservative interpolation between unstructured meshes via supermesh construction[J]. Computer Methods in Applied Mechanics and Engineering, 2009, 198(33/34/35/36): 2632-2642.
- [8] Farrell P E, Maddison J R. Conservative interpolation between volume meshes by local Galerkin projection[J]. Computer Methods in Applied Mechanics and Engineering, 2011, 200(1/2/3/4): 89-100.
- [9] Menon S, Schmidt D P. Conservative interpolation on unstructured polyhedral meshes: An extension of the supermesh approach to cell-centered finite-volume variables[J]. Computer Methods in Applied Mechanics and Engineering, 2011, 200(41/44): 2797-2804.
- [10] 郭正. 包含运动边界的多体非定常流场数值模拟方法研究[D]. 长沙: 国防科技大学, 2002.
- [11] 刘君, 白晓征, 郭正. 非结构动网格计算方法——及其在包含运动界面的流场模拟中的应用[M]. 长沙: 国防科技大学出版社, 2009.

## An accurate conservative interpolation method for the mixed grid based on the intersection of grid cells

Xu Chunguang, Dong Haibo, Liu Jun

(School of Aeronautics and Astronautics, Dalian University of Technology,  
Dalian 116024, Liaoning, China)

**Abstract:** A method is presented for conservatively transferring cell-centered physical quantities from one mesh to another with second-order accuracy, which is well-suited for finite-volume methods that rely on cell-centered variables. The proposed methodology implements the cell-intersection algorithm of 2D/3D mixed grid based on the local supermesh idea, and is able to accurately calculate the intersection of any two polygons or polyhedrons, thus providing a basis for accurate conservative interpolation. The accuracy and the efficacy of the new method are demonstrated with multiple 2D and 3D numerical experiments. The test results show that this method ensures strict conservation of physical quantities in the interpolation process, and achieves a higher accuracy than that achieved by conventional second-order interpolation methods.

**Key words:** fluid mechanics; conservative interpolation; cell-intersection; mixed grid; local supermesh

(责任编辑 曾月蓉)